

Warszawa, dn. 2021-10-14

T-Mobile Polska S.A.
ul. Marynarska 12
02-674 Warszawa



Prezydent Miasta Białystok
Urząd Miejski w Białymstoku
ul. Słonimska 1
15-950 Białystok

Dotyczy: ustawowego obowiązku, wynikającego z art. 152 ust. 1 i ust. 7 w związku z ust. 6 pkt 1c ustawy z dnia 27 kwietnia 2001r – Prawo ochrony środowiska (Dz.U. z 2020r. poz. 1219 z późn. zm.).

Działając z upoważnienia T-Mobile Polska S.A. z siedzibą ul. Marynarska 12, 02-674 Warszawa, **informuję o zmianie danych w zakresie wielkości i rodzaju emisji** dla instalacji radiokomunikacyjnej **24035 (96023N!) WBI_BIALYSTOK_ELEWATORSKA52** zlokalizowanej w miejscowości BIAŁYSTOK, ELEWATORSKA 52 DZ.14/5. W stosunku do informacji zawartej w zgłoszeniu realizowanym dla tej instalacji w trybie art. 152 ust. 1 i 5 ustawy z dnia 27 kwietnia 2001r – Prawo ochrony środowiska (Dz.U. z 2020r. poz. 1219 z późn. zm.), dane ulegają zmianie w następujący sposób:

9. Wielkość i rodzaj emisji²⁾:

Pole elektromagnetyczne. EIRP poszczególnych anten zostało podane w pkt 12, tj.

Lp.	Równoważna moc promieniowana izotropowo (EIRP) [W]
1.	16056
2.	9926
3.	7501
4.	9926
5.	16056

Lp.	Równoważna moc promieniowana izotropowo (EIRP) [W]
6.	9926
7.	10
8.	13,8
9.	13,8
10.	708
11.	14,1
12.	20,4
13.	11,2
14.	13,8
15.	7,9
16.	2691,5
17.	1
18.	8337,4
19.	1,1
20.	23498
21.	7079,5
22.	812,8
23.	14,8
24.	371,5
25.	371,5
26.	13,8
27.	13,8

12. Szczegółowe dane, odpowiednio do rodzaju instalacji, zgodne z wymaganiami określonymi w załączniku nr 2 do Rozporządzenia:

Lp. ³⁾	1)	2)	3)	4)	5)	
	Współrzędne geograficzne	Częstotliwość lub zakresy częstotliwości pracy instalacji [MHz]	Wysokość środka elektrycznego anteny [m n.p.t]	Równoważna moc promieniowana izotropowo (EIRP) [W]	Azymut [°]	Kąt pochylenia lub zakresy kątów pochylenia [°]
1.	23°4'31.3" 53°8'35.4"	2100/ 900/ 1800/ 900	36.3	16056	20	7/ 3/ 7/ 3
2.	23°4'31.3" 53°8'35.4"	800/ 2600	36.3	9926	20	4/ 7
3.	23°4'31.3" 53°8'35.3"	1800/ 900/ 900/ 2100	36.3	7501	160	7/ 3/ 3/ 7
4.	23°4'31.3"	2600/ 800	36.3	9926	160	8/ 8

	53°8'35.3"					
5.	23°4'31.1" 53°8'35.3"	900/ 900/ 2100/ 1800	46.3	16056	280	0/ 0/ 2/ 2
6.	23°4'31.1" 53°8'35.3"	2600/ 800	46.3	9926	280	2/ 2
7.	53°08'35.4"N 23°04'31.3"E	38000	56,6	10	1	nd.
8.	53°08'35.4"N 23°04'31.3"E	38000	58,5	13,8	1	nd.
9.	53°08'35.4"N 23°04'31.3"E	38000	58	13,8	3	nd.
10.	53°08'35.3"N 23°04'31.1"E	38000	52	708	11	nd.
11.	53°08'35.4"N 23°04'31.3"E	38000	56	14,1	27	nd.
12.	53°08'35.4"N 23°04'31.3"E	38000	27	20,4	76	nd.
13.	53°08'35.3"N 23°04'31.3"E	38000	58,4	11,2	99	nd.
14.	53°08'35.3"N 23°04'31.3"E	38000	58,5	13,8	100	nd.
15.	53°08'35.3"N 23°04'31.3"E	32000	29	7,9	106	nd.
16.	53°08'35.3"N 23°04'31.3"E	38000	57,9	2691,5	106	nd.
17.	53°08'35.3"N 23°04'31.3"E	38000	60	1	181	nd.
18.	53°08'35.4"N 23°04'31.1"E	38000	56.5	8337,4	259	nd.
19.	53°08'35.3"N 23°04'31.1"E	38000	26,6	1,1	261	nd.
20.	53°08'35.4"N 23°04'31.1"E	23000	59	23498	283	nd.
21.	53°08'35.4"N 23°04'31.1"E	80000	59	7079,5	283	nd.
22.	53°08'35.3"N 23°04'31.1"E	38000	58	812,8	289	nd.
23.	53°08'35.3"N 23°04'31.1"E	32000	58,4	14,8	291	nd.
24.	53°08'35.3"N 23°04'31.1"E	32000	52	371,5	292	nd.
25.	53°08'35.3"N 23°04'31.1"E	32000	60	371,5	293	nd.
26.	53°08'35.3"N 23°04'31.1"E	38000	56,6	13,8	298	nd.
27.	53°08'35.3"N	38000	55	13,8	308	nd.

	23°04'31.1"E					
--	--------------	--	--	--	--	--

*) tolerancja azymutu od -10° do + 10°.

Informuję, iż dokonane zmiany w zakresie wielkości i rodzaju emisji przedmiotowej instalacji nie powodują zmiany instalacji w sposób istotny zgodnie z art. 3 pkt 7 ustawy Poś.

Jednocześnie informuję, iż analizowane przedsięwzięcie nadal **nie kwalifikuje się** do przedsięwzięć mogących znacząco oddziaływać na środowisko biorąc pod uwagę, iż w osi głównych wiązek promieniowania anten sektorowych w odległościach podanych w Rozporządzeniu Rady Ministrów z dnia 9 listopada 2010r. w sprawie przedsięwzięć mogących znacząco oddziaływać na środowisko /Dz.U. 2019 poz. 1839 ze zm./ nie znajdują się miejsca dostępne dla ludności.

W załączniku przesyłam:

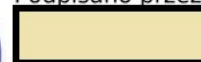
1. Pełnomocnictwo
2. Kopia potwierdzenia wniesienia opłaty skarbowej.

Otrzymują:

1. a/a
2. adresat



Signed by /
Podpisano przez:



Date / Data:
2021-10-14
11:36



Laboratorium Badań Środowiskowych
ul. Józefa Piusa Dziekońskiego 3
00-728 Warszawa
e-mail: Laboratorium@networks.pl



AB 419

S P R A W O Z D A N I E 5618/2021/OS
Z POMIARÓW PÓL ELEKTROMAGNETYCZNYCH
WYKONANYCH DLA POTRZEB OCHRONY ŚRODOWISKA

Badany obiekt: Instalacja radiokomunikacyjna T-Mobile Polska S.A.
Numer i nazwa: 24035 (96023N!) WBI_BIALYSTOK_ELEWATORSKA52
Adres: BIAŁYSTOK, ELEWATORSKA 52 DZ.14/5, Powiat m. Białystok, WOJ. PODLASKIE

Data wykonania pomiarów: 2021-09-29

Sprawozdanie z badań bez pisemnej zgody laboratorium nie może być powielane inaczej niż w całości.
Wynik przedstawione w niniejszym sprawozdaniu odnoszą się wyłącznie do badanego obiektu i do warunków i konfiguracji urządzeń w dniu wykonywania pomiarów.

1. Właściciel badanego obiektu:

T-Mobile Polska S.A., ul. Marynarska 12, 02-674 Warszawa

2. Zleceniodawca:

T-Mobile Polska S.A., ul. Marynarska 12, 02-674 Warszawa

3. Przedstawiciel zleceniodawcy:

NetWorkS! Sp.z o.o.

4. Zakres zlecenia:

Wykonanie badania i opracowanie sprawozdania z pomiarów natężenia pola elektrycznego i pola magnetycznego dla instalacji radiokomunikacyjnej T-Mobile Polska S.A. zlokalizowanej w miejscowości BIAŁYSTOK, ELEWATORSKA 52 DZ.14/5.

5. Cel zlecenia:

Wykonanie pomiarów pól elektromagnetycznych w otoczeniu instalacji radiokomunikacyjnej 24035 (96023N!) WBI_BIALYSTOK_ELEWATORSKA52 w odniesieniu do wymagań określonych w *Rozporządzeniu Ministra Klimatu z dnia 17 lutego 2020 r. w sprawie sposobów sprawdzania dotrzymania dopuszczalnych poziomów pól elektromagnetycznych w środowisku (Dz. U. 2020, poz. 258)*.

6. Pomiary zostały wykonane przez:



7. Informacje o źródłach pól elektromagnetycznych

7.1. Sposób identyfikacji badanych źródeł pól elektromagnetycznych

Identyfikacji źródeł i parametrów technicznych dokonano na podstawie analizy dokumentacji dotyczącej zlecenia oraz obserwacji miejsca wykonywania badań.

7.2. Opis miejsca zainstalowania anten i urządzeń technicznych. Opis obiektu badań i jego otoczenia

Instalacja radiokomunikacyjna zlokalizowana jest na terenie ogrodzonym. Anteny zawieszono na wieży strunobetonowej. Urządzenia sterujące oraz zasilające zainstalowano w kontenerze u podstawy wieży. Wokół instalacji znajdują się tereny przemysłowe.

Instalacja radiokomunikacyjna jest obiektem bezobsługowym. Okresowe stanowiska pracy związane są z prowadzonymi w zależności od potrzeb konserwacjami, przeglądami, strojeniem i naprawami.

Sprawozdanie z badań bez pisemnej zgody laboratorium nie może być powielane inaczej niż w całości.
Wynik przedstawione w niniejszym sprawozdaniu odnoszą się wyłącznie do badanego obiektu i do warunków i konfiguracji urządzeń w dniu wykonywania pomiarów.

7.3. Parametry techniczne źródła pola elektromagnetycznego

Dane przedstawiające maksymalne parametry pracy instalacji przekazane przez zleceniodawcę:

Parametry systemu nadawczo-odbiorczego:

Charakterystyka promieniowania		kierunkowa					
Rzeczywisty czas pracy [h/dobę]		24					
Warunki pracy		znamionowe					
Rodzaj wytwarzanego pola		stacjonarne					
Lp.	Częstotliwość lub zakresy częstotliwości pracy [MHz]	Typ/producent anteny	liczba anten	Azymut [°]	kąt pochylenia* [°]	Wysokość środka elektrycznego anteny [m n.p.t.]	Równoważna moc promieniowana izotropowo (EIRP) [W]
1	1800/ 900/ 900/ 2100	ATR4518R6v06 Huawei	1	20	6/ 3/ 3/ 6	36.3	16056
2	800/ 2600	ATR4518R13 Huawei	1	20	4/ 7	36.3	9926
3	900/ 900/ 2100/ 1800	ATR4518R6v06 Huawei	1	160	3/ 3/ 7/ 7	36.3	7501
4	800/ 2600	ATR4518R13 Huawei	1	160	8/ 8	36.3	9926
5	900/ 2100/ 900/ 1800	ATR4518R6v06 Huawei	1	280	0/ 2/ 0/ 2	46.3	16056
6	2600/ 800	ATR4518R13 Huawei	1	280	2/ 2	46.3	9926

* wskazane wartości kąta pochylenia anten, zgodnie z informacją uzyskaną od zleceniodawcy, są wartościami stałymi

Parametry radiolinii:

Charakterystyka promieniowania		kierunkowa					
Rzeczywisty czas pracy [h/dobę]		24					
Warunki pracy		znamionowe					
Rodzaj wytwarzanego pola		stacjonarne					
Lp.	Linia radiowa			Antena			
	Typ/ Producent	Częstotliwość pracy [GHz]	Równoważna moc promieniowana izotropowo (EIRP) [W]*	Typ/ producent	Średnica anteny [m]	Azymut (°)	Wysokość zainstalowania n.p.t [m]
1.	Ericsson CN510 RAU2X Harris Stratex	38	10	ANT2_0.3 38 HP Andrew	0.3	1	56.6
2.	Ericsson CN510 RAU2X Harris Stratex	38	13.8	ANT2_0.3 38 HP Andrew	0.3	1	58.5
3.	Ericsson CN510 RAU2X Harris Stratex	38	13.8	ANT2_0.3 38 HP Andrew	0.3	3	58
4.	NEC iPasolink 200 Harris Stratex	38	708	VHLP1-38 Andrew	0.3	11	52
5.	NEC iPasolink 200 Harris Stratex	38	14.1	VHLP1-38 Andrew	0.3	27	56
6.	RTN XMC-2 38G/7MHz Huawei	38	20.4	VHLP1-38-HW1A Andrew	0.3	76	27
7.	NEC iPasolink 200 Harris Stratex	38	11.2	VHLP1-38 Andrew	0.3	99	58.4

Sprawozdanie z badań bez pisemnej zgody laboratorium nie może być powielane inaczej niż w całości.
Wynik przedstawione w niniejszym sprawozdaniu odnoszą się wyłącznie do badanego obiektu i do warunków i konfiguracji urządzeń w dniu wykonywania pomiarów.

Charakterystyka promieniowania			kierunkowa				
Rzeczywisty czas pracy [h/dobę]			24				
Warunki pracy			znamionowe				
Rodzaj wytwarzanego pola			stacjonarne				
Lp.	Linia radiowa			Antena			
	Typ/ Producent	Częstotliwość pracy [GHz]	Równoważna moc promieniowana izotropowo (EIRP) [W]*	Typ/ producent	Średnica anteny [m]	Azymut (°)	Wysokość zainstalowania n.p.t [m]
8.	ERICSSON CN510 6363 Harris Stratex	38	13.8	ANT3_0.3 38 HP/HPX Ericsson	0.3	100	58.5
9.	NP ERICSSON RAU2X 38GHZ 14MHz Ericsson	38	2691.5	UKY 210 80/SC15 Ericsson	0.6	106	57.9
10.	NEC iPasolink 200 Harris Stratex	32	7.9	VHLP1-32 Andrew	0.3	106	29.0
11.	Ericsson CN510 RAU2X Harris Stratex	38	1	ANT2_0.3 38 HP Andrew	0.3	181	60
12.	NP ERICSSON RAU2X 38GHZ 2x56MHz XPIC Ericsson	38	8337.4	UKY 230 42/11H Ericsson	0.6	259	56.5
13.	Ericsson CN510 RAU2X Harris Stratex	38	1.1	ANT2_0.3 38 HP Andrew	0.3	261	26.6
14.	NP ERICSSON RAU2X 23GHZ 2x56MHz XPIC Ericsson	23	23498	UKY 210 44/DC15 Ericsson	1.2	283	59
15.	NP ERICSSON ML 6352 R2+ 70/80GHz 250MHz Ericsson	80	7079.5	UKY 230 42/14H Ericsson	0.6	283	59
16.	RTN XMC-2 38G/7MHz Huawei	38	812.8	VHLP1-38-HW1A Andrew	0.3	289	58
17.	Ericsson CN510 RAU2X Harris Stratex	32	14.8	ANT2_0.3 32 HP Andrew	0.3	291	58.4
18.	Ericsson CN510 RAU2X Harris Stratex	32	371.5	ANT2_0.3 32 HP Andrew	0.3	292	52
19.	Ericsson CN510 RAU2X Harris Stratex	32	371.5	ANT2_0.3 32 HP Andrew	0.3	293	60
20.	Ericsson CN510 RAU2X Harris Stratex	38	13.8	ANT2_0.3 38 HP Andrew	0.3	298	56.6
21.	ERICSSON CN510 6363 Harris Stratex	38	13.8	ANT3_0.3 38 HP/HPX Ericsson	0.3	308	55

7.4 Inne źródła pól elektromagnetycznych

Na podstawie informacji otrzymanych od zleceniodawcy oraz obserwacji otoczenia miejsca wykonywania pomiarów oraz dokumentacji stwierdzono występowanie potencjalnych źródeł wtórnych - metalowe elementy konstrukcji oraz nie stwierdzono występowania innych źródeł pola-EM.

Sprawozdanie z badań bez pisemnej zgody laboratorium nie może być powielane inaczej niż w całości.
Wynik przedstawione w niniejszym sprawozdaniu odnoszą się wyłącznie do badanego obiektu i do warunków i konfiguracji urządzeń w dniu wykonywania pomiarów.

8. Opis pomiarów

8.1. Metoda badań

Zgodna z rozporządzeniem Ministra Klimatu z dnia 17 lutego 2020 r. w sprawie sposobów sprawdzania dotrzymania dopuszczalnych poziomów pól elektromagnetycznych w środowisku (Dz. U. 2020, poz. 258), określona w pkt 25 ppkt 1 załącznika do niniejszego rozporządzenia.

Zgodnie z art. 122a ust. 1b ustawy Prawo Ochrony Środowiska, w przypadku wprowadzenia na części albo całym terytorium Rzeczypospolitej Polskiej stanu nadzwyczajnego, o którym mowa w art. 228 ust. 1 Konstytucji Rzeczypospolitej Polskiej z dnia 2 kwietnia 1997 r. (Dz. U. poz. 483, z 2001 r. poz. 319, z 2006 r. poz. 1471 oraz z 2009 r. poz. 946), lub stanu zagrożenia epidemicznego lub stanu epidemii, o których mowa w art. 46 ustawy z dnia 5 grudnia 2008 r. o zapobieganiu oraz zwalczaniu zakażeń i chorób zakaźnych u ludzi (Dz. U. z 2019 r. poz. 1239, z późn. zm.8)), pomiarów , nie przeprowadza się w lokalach mieszkalnych oraz w lokalach użytkowych zlokalizowanych na terytorium objętym stanem nadzwyczajnym, stanem zagrożenia epidemicznego lub stanem epidemii.

W związku z obecnie obowiązującym stanem epidemii, pomiarów nie wykonano w lokalach mieszkalnych oraz w lokalach użytkowych zlokalizowanych w obszarze pomiarowym przedmiotowej instalacji radiokomunikacyjnej.

8.2. Termin pomiarów i warunki środowiskowe

Podczas wykonywania pomiarów pól elektromagnetycznych nie występowały opady atmosferyczne. Wyniki pomiaru parametrów pogodowych przedstawia poniższa tabela:

Data [rrrr-mm-dd]	Godzina [hh:mm-hh:mm]	Warunki środowiskowe			
		Temperatura [°C]		Wilgotność względna [%]	
2021-09-29	08:20-09:40	Przed pomiarem	Po pomiarach	Przed pomiarem	Po pomiarach
		9.4	10	67	64

Przedstawione wyżej warunki środowiskowe, występujące podczas wykonywania pomiarów pól elektromagnetycznych, są zgodne ze specyfikacją techniczną użytego zestawu pomiarowego.

8.3. Warunki pracy urządzeń nadawczych

Podczas pomiarów zostały uwzględnione poprawki pomiarowe przekazane przez zleceniodawcę, umożliwiające uwzględnienie maksymalnych parametrów pracy instalacji zgodnie z pkt 7 załącznika do Rozporządzeniem Ministra Klimatu z dnia 17 lutego 2020 r. w sprawie sposobów sprawdzania dotrzymania dopuszczalnych poziomów pól elektromagnetycznych w środowisku (Dz. U. 2020, poz. 258).

8.4. Wyposażenie pomiarowe

Zestaw pomiarowy służący do pomiaru natężenia składowej elektrycznej pola elektromagnetycznego złożony z szerokopasmowego miernika i sondy pomiarowej:

Oznaczenie miernika	Producent	Model	Numer fabryczny	Oznaczenie sondy	Producent	Model	Numer fabryczny
M-21	Narda Safety Test Solution	Miernik pól elektromagnetycznych NBM-550	H-0350	S-23	Narda Safety Test Solution	Sonda EF6092	C-0115

Mierniki natężenia pola elektromagnetycznego podlegają okresowemu sprawdzeniu zgodnie z procedurą wewnętrzną P-03 i PB-01. Świadectwo wzorcowania zestawu pomiarowego z dnia 18 sierpnia 2020 o numerze LWiMP/W/239/20 wydane przez Laboratorium Wzorców i Metrologii Pola Elektromagnetycznego (LWiMP) Politechniki Wrocławskiej.
Data ważności świadectwa wzorcowania: 18 sierpnia 2022 (zgodnie z procedurą wewnętrzną P-03).

Oznaczenie miernika	Producent	Model	Numer fabryczny	Oznaczenie sondy	Producent	Model	Numer fabryczny
M-21	Narda Safety Test Solution	Miernik pól elektromagnetycznych NBM-550	H-0350	S-24	Narda Safety Test Solution	Sonda EF0391	D-1517

Mierniki natężenia pola elektromagnetycznego podlegają okresowemu sprawdzeniu zgodnie z procedurą wewnętrzną P-03 i PB-01. Świadectwo wzorcowania zestawu pomiarowego z dnia 28 listopada 2019 o numerze LWiMP/W/326/2019 wydane przez Laboratorium Wzorców i Metrologii Pola Elektromagnetycznego (LWiMP) Politechniki Wrocławskiej.
Data ważności świadectwa wzorcowania: 28 listopada 2021 (zgodnie z procedurą wewnętrzną P-03).

Sprawozdanie z badań bez pisemnej zgody laboratorium nie może być powielane inaczej niż w całości.
Wynik przedstawione w niniejszym sprawozdaniu odnoszą się wyłącznie do badanego obiektu i do warunków i konfiguracji urządzeń w dniu wykonywania pomiarów.

Termohigrometr:

Oznaczenie:	TH-12	Producent:	AZ INSTRUMENT CORP	Model:	Termohigrometr AZ8706
-------------	-------	------------	--------------------	--------	-----------------------

Data ważności świadectwa wzorcowania: 20 maja 2023 (zgodnie z procedurą wewnętrzną P-03).

Dalmierz:

Oznaczenie	Producent	Typ	Numer seryjny	Nr świadectwa wzorcowania	Data świadectwa wzorcowania
D-11	Leica	Dalmierz Leica Disto D510	1042957453	4609.22-M11-4180-1748/14	9 stycznia 2015

Data ważności świadectwa wzorcowania: 9 stycznia 2025 (zgodnie z procedurą wewnętrzną P-03).

9. Wyniki pomiarów

Pole elektryczne

Nr pionu	Opis umiejscowienia pionu (punktu) pomiarowego	Wysokość pomiaru [m]	Zmierzona wartość natężenia pola elektrycznego E [V/m] ^{1,5}			Wartość natężenia pola elektrycznego po uwzględnieniu poprawek pomiarowych powiększona o niepewność pomiaru ⁴ E [V/m]	Wskaźnikowa wartość poziomu emisji pól elektromagnetycznych WME ³	Współrzędne geograficzne pionu (punktu) pomiarowego ²
			Sonda S-23	Sonda S-24	SUMA			
1	GKP w odległości 9m od anteny radioliniowej az. 1 i 3°	0,3-2,0	<1,0	<1,0	<1,0	2.1	0.08	53°8'35.52" 23°4'31.439"
2	GKP w odległości 30m od anteny radioliniowej az. 1° i 3	0,3-2,0	<1,0	<1,0	<1,0	2.1	0.08	53°8'36.239" 23°4'31.439"
3	GKP w odległości 46m od anteny radioliniowej az. 1° i 3	0,3-2,0	<1,0	<1,0	<1,0	2.1	0.08	53°8'36.959" 23°4'31.439"
4	GKP w odległości 8m od anteny radioliniowej az. 11° i 20°	0,3-2,0	<1,0	<1,0	<1,0	2.1	0.08	53°8'35.52" 23°4'31.439"
5	GKP w odległości 28m od anteny radioliniowej az. 11°	0,3-2,0	<1,0	<1,0	<1,0	2.1	0.08	53°8'36.239" 23°4'31.439"
6	GKP w odległości 43m od anteny radioliniowej az. 11°	0,3-2,0	<1,0	<1,0	<1,0	2.1	0.08	53°8'36.6" 23°4'31.8"
7	GKP w odległości 29m od anteny sektorowej az. 20°	0,3-2,0	<1,0	<1,0	<1,0	2.1	0.08	53°8'36.239" 23°4'31.8"
8	GKP w odległości 43m od anteny sektorowej az. 20°	0,3-2,0	<1,0	<1,0	<1,0	2.1	0.08	53°8'36.6" 23°4'32.16"
9	GKP w odległości 93m od anteny sektorowej az. 20°	0,3-2,0	<1,0	<1,0	<1,0	2.1	0.08	53°8'38.04" 23°4'32.88"
10	GKP w odległości 10m od anteny radioliniowej az. 27°	0,3-2,0	<1,0	<1,0	<1,0	2.1	0.08	53°8'35.52" 23°4'31.439"
11	GKP w odległości 30m od anteny radioliniowej az. 27°	0,3-2,0	<1,0	<1,0	<1,0	2.1	0.08	53°8'36.239" 23°4'31.8"
12	GKP w odległości 43m od anteny radioliniowej az. 27°	0,3-2,0	<1,0	<1,0	<1,0	2.1	0.08	53°8'36.6" 23°4'32.16"
13	GKP w odległości 8m od anteny radioliniowej az. 76°	0,3-2,0	<1,0	<1,0	<1,0	2.1	0.08	53°8'35.52" 23°4'31.8"
14	GKP w odległości	0,3-2,0	<1,0	<1,0	<1,0	2.1	0.08	53°8'35.52"

Sprawozdanie z badań bez pisemnej zgody laboratorium nie może być powielane inaczej niż w całości.

Wynik przedstawione w niniejszym sprawozdaniu odnoszą się wyłącznie do badanego obiektu i do warunków i konfiguracji urządzeń w dniu wykonywania pomiarów.

	34m od anteny radioliniowej az. 76°							23°4'32.88"
15	GKP w odległości 59m od anteny radioliniowej az. 76°	0,3-2,0	<1,0	<1,0	<1,0	2.1	0.08	53°8'35.88" 23°4'34.32"
16	GKP w odległości 6m od anteny radioliniowej az. 99, 100 i 106°	0,3-2,0	<1,0	<1,0	<1,0	2.1	0.08	53°8'35.159" 23°4'31.439"
17	GKP w odległości 21m od anteny radioliniowej az. 99°	0,3-2,0	<1,0	<1,0	<1,0	2.1	0.08	53°8'35.159" 23°4'32.52"
18	GKP w odległości 14m od anteny radioliniowej az. 100 i 106°	0,3-2,0	<1,0	<1,0	<1,0	2.1	0.08	53°8'35.159" 23°4'32.16"
19	GKP w odległości 9m od anteny sektorowej az. 160°	0,3-2,0	<1,0	<1,0	<1,0	2.1	0.08	53°8'35.159" 23°4'31.439"
20	GKP w odległości 20m od anteny sektorowej az. 160°	0,3-2,0	<1,0	<1,0	<1,0	2.1	0.08	53°8'34.8" 23°4'31.8"
21	GKP w odległości 37m od anteny sektorowej az. 160°	0,3-2,0	<1,0	<1,0	<1,0	2.1	0.08	53°8'34.08" 23°4'32.16"
22	GKP w odległości 91m od anteny sektorowej az. 160°	0,3-2,0	<1,0	<1,0	<1,0	2.1	0.08	53°8'32.64" 23°4'32.88"
23	GKP w odległości 8m od anteny radioliniowej az. 181°	0,3-2,0	<1,0	<1,0	<1,0	2.1	0.08	53°8'35.159" 23°4'31.439"
24	GKP w odległości 22m od anteny radioliniowej az. 181°	0,3-2,0	<1,0	<1,0	<1,0	2.1	0.08	53°8'34.439" 23°4'31.439"
25	GKP w odległości 38m od anteny radioliniowej az. 181°	0,3-2,0	<1,0	<1,0	<1,0	2.1	0.08	53°8'34.08" 23°4'31.439"
26	GKP w odległości 15m od anteny radioliniowej az. 259 i 261°	0,3-2,0	<1,0	<1,0	<1,0	2.1	0.08	53°8'35.159" 23°4'30.359"
27	GKP w odległości 33m od anteny radioliniowej az. 259 i 261°	0,3-2,0	<1,0	<1,0	<1,0	2.1	0.08	53°8'35.159" 23°4'29.639"
28	GKP w odległości 49m od anteny radioliniowej az. 259 i 261°	0,3-2,0	<1,0	<1,0	<1,0	2.1	0.08	53°8'35.159" 23°4'28.56"
29	GKP w odległości 11m od anteny sektorowej az. 280°	0,3-2,0	<1,0	<1,0	<1,0	2.1	0.08	53°8'35.52" 23°4'30.359"
30	GKP w odległości 34m od anteny sektorowej az. 280°	0,3-2,0	<1,0	<1,0	<1,0	2.1	0.08	53°8'35.52" 23°4'29.279"
31	GKP w odległości 51m od anteny sektorowej az. 280°	0,3-2,0	<1,0	<1,0	<1,0	2.1	0.08	53°8'35.52" 23°4'28.2"
32	GKP w odległości 72m od anteny sektorowej az. 280°	0,3-2,0	<1,0	<1,0	<1,0	2.1	0.08	53°8'35.88" 23°4'27.12"
33	GKP w odległości 96m od anteny sektorowej az. 280°	0,3-2,0	<1,0	<1,0	<1,0	2.1	0.08	53°8'35.88" 23°4'26.039"

Sprawozdanie z badań bez pisemnej zgody laboratorium nie może być powielane inaczej niż w całości.
Wynik przedstawione w niniejszym sprawozdaniu odnoszą się wyłącznie do badanego obiektu i do warunków i konfiguracji urządzeń w dniu wykonywania pomiarów.

34	GKP w odległości 13m od anteny radioliniowej az. 283°	0,3-2,0	<1,0	<1,0	<1,0	2.1	0.08	53°8'35.52" 23°4'30.359"
35	GKP w odległości 31m od anteny radioliniowej az. 283°	0,3-2,0	<1,0	<1,0	<1,0	2.1	0.08	53°8'35.52" 23°4'29.639"
36	GKP w odległości 81m od anteny radioliniowej az. 283°	0,3-2,0	<1,0	<1,0	<1,0	2.1	0.08	53°8'35.88" 23°4'26.76"
37	GKP w odległości 15m od anteny radioliniowej az. 289 i 293°	0,3-2,0	<1,0	<1,0	<1,0	2.1	0.08	53°8'35.52" 23°4'30.719"
38	GKP w odległości 30m od anteny radioliniowej az. 289°	0,3-2,0	<1,0	<1,0	<1,0	2.1	0.08	53°8'35.52" 23°4'29.639"
39	GKP w odległości 41m od anteny radioliniowej az. 289°	0,3-2,0	<1,0	<1,0	<1,0	2.1	0.08	53°8'35.88" 23°4'28.919"
40	GKP w odległości 33m od anteny radioliniowej az. 293°	0,3-2,0	<1,0	<1,0	<1,0	2.1	0.08	53°8'35.88" 23°4'29.639"
41	GKP w odległości 45m od anteny radioliniowej az. 293°	0,3-2,0	<1,0	<1,0	<1,0	2.1	0.08	53°8'35.88" 23°4'28.919"
42	GKP w odległości 16m od anteny radioliniowej az. 298°	0,3-2,0	<1,0	<1,0	<1,0	2.1	0.08	53°8'35.52" 23°4'30.719"
43	GKP w odległości 38m od anteny radioliniowej az. 298°	0,3-2,0	<1,0	<1,0	<1,0	2.1	0.08	53°8'35.88" 23°4'29.639"
44	GKP w odległości 51m od anteny radioliniowej az. 298°	0,3-2,0	<1,0	<1,0	<1,0	2.1	0.08	53°8'36.239" 23°4'28.919"
45	GKP w odległości 16m od anteny radioliniowej az. 308°	0,3-2,0	<1,0	<1,0	<1,0	2.1	0.08	53°8'35.52" 23°4'30.719"
46	GKP w odległości 30m od anteny radioliniowej az. 308°	0,3-2,0	<1,0	<1,0	<1,0	2.1	0.08	53°8'35.88" 23°4'29.999"
47	GKP w odległości 61m od anteny radioliniowej az. 308°	0,3-2,0	<1,0	<1,0	<1,0	2.1	0.08	53°8'36.6" 23°4'28.56"
48	PPP - w wejściu do sklepu motoryzacyjnego	0,3-2,0	<1,0	<1,0	<1,0	2.1	0.08	53°8'36.959" 23°4'31.439"
49	PPP - narożnik budynku	0,3-2,0	<1,0	<1,0	<1,0	2.1	0.08	53°8'35.88" 23°4'30.359"
50	PPP - w wejściu do budynku biurowego	0,3-2,0	<1,0	<1,0	<1,0	2.1	0.08	53°8'34.8" 23°4'31.8"
-	GKP w odległości 182m od anteny sektorowej na az. 20°	0,3-2,0	<1,0	<1,0	<1,0	2.1	0.08	53°8'40.92" 23°4'34.679"
-	GKP w odległości 365m od anteny sektorowej na az. 20°	0,3-2,0	<1,0	<1,0	<1,0	2.1	0.08	53°8'46.679" 23°4'37.92"
-	GKP w odległości 363m od anteny sektorowej na az. 160°	0,3-2,0	<1,0	<1,0	<1,0	2.1	0.08	53°8'24.359" 23°4'37.92"
-	GKP w odległości 232m od anteny sektorowej na az.	0,3-2,0	<1,0	<1,0	<1,0	2.1	0.08	53°8'36.6" 23°4'18.839"

Sprawozdanie z badań bez pisemnej zgody laboratorium nie może być powielane inaczej niż w całości.
Wynik przedstawione w niniejszym sprawozdaniu odnoszą się wyłącznie do badanego obiektu i do warunków i konfiguracji urządzeń w dniu wykonywania pomiarów.

	280°							
-	GKP w odległości 463m od anteny sektorowej na az. 280°	0,3-2,0	<1,0	<1,0	<1,0	2.1	0.08	53°8'38.04" 23°4'6.6"

Pole magnetyczne (wyznaczone na podstawie pomiaru wartości natężenia pola elektrycznego)

Nr pionu	Opis umiejscowienia pionu (punktu) pomiarowego	Wysokość pomiaru [m]	Wartość natężenia pola magnetycznego H [A/m] ¹			Wartość natężenia pola magnetycznego po uwzględnieniu poprawek pomiarowych powiększona o niepewność pomiaru ⁴ H [A/m]	Wskaźnikowa wartość poziomu emisji pól elektromagnetycznych WM _H ³	Współrzędne geograficzne pionu (punktu) pomiarowego ²
			Sonda S-23	Sonda S-24	SUMA			
1	GKP w odległości 9m od anteny radioliniowej az. 1° i 3°	0,3-2,0	<0.003*	<0.003*	<0.003*	0.006	0.08	53°8'35.52" 23°4'31.439"
2	GKP w odległości 30m od anteny radioliniowej az. 1° i 3	0,3-2,0	<0.003*	<0.003*	<0.003*	0.006	0.08	53°8'36.239" 23°4'31.439"
3	GKP w odległości 46m od anteny radioliniowej az. 1° i 3	0,3-2,0	<0.003*	<0.003*	<0.003*	0.006	0.08	53°8'36.959" 23°4'31.439"
4	GKP w odległości 8m od anteny radioliniowej az. 11° i 20°	0,3-2,0	<0.003*	<0.003*	<0.003*	0.006	0.08	53°8'35.52" 23°4'31.439"
5	GKP w odległości 28m od anteny radioliniowej az. 11°	0,3-2,0	<0.003*	<0.003*	<0.003*	0.006	0.08	53°8'36.239" 23°4'31.439"
6	GKP w odległości 43m od anteny radioliniowej az. 11°	0,3-2,0	<0.003*	<0.003*	<0.003*	0.006	0.08	53°8'36.6" 23°4'31.8"
7	GKP w odległości 29m od anteny sektorowej az. 20°	0,3-2,0	<0.003*	<0.003*	<0.003*	0.006	0.08	53°8'36.239" 23°4'31.8"
8	GKP w odległości 43m od anteny sektorowej az. 20°	0,3-2,0	<0.003*	<0.003*	<0.003*	0.006	0.08	53°8'36.6" 23°4'32.16"
9	GKP w odległości 93m od anteny sektorowej az. 20°	0,3-2,0	<0.003*	<0.003*	<0.003*	0.006	0.08	53°8'38.04" 23°4'32.88"
10	GKP w odległości 10m od anteny radioliniowej az. 27°	0,3-2,0	<0.003*	<0.003*	<0.003*	0.006	0.08	53°8'35.52" 23°4'31.439"
11	GKP w odległości 30m od anteny radioliniowej az. 27°	0,3-2,0	<0.003*	<0.003*	<0.003*	0.006	0.08	53°8'36.239" 23°4'31.8"
12	GKP w odległości 43m od anteny radioliniowej az. 27°	0,3-2,0	<0.003*	<0.003*	<0.003*	0.006	0.08	53°8'36.6" 23°4'32.16"
13	GKP w odległości 8m od anteny radioliniowej az. 76°	0,3-2,0	<0.003*	<0.003*	<0.003*	0.006	0.08	53°8'35.52" 23°4'31.8"
14	GKP w odległości 34m od anteny radioliniowej az. 76°	0,3-2,0	<0.003*	<0.003*	<0.003*	0.006	0.08	53°8'35.52" 23°4'32.88"
15	GKP w odległości 59m od anteny radioliniowej az. 76°	0,3-2,0	<0.003*	<0.003*	<0.003*	0.006	0.08	53°8'35.88" 23°4'34.32"

Sprawozdanie z badań bez pisemnej zgody laboratorium nie może być powielane inaczej niż w całości.
Wynik przedstawione w niniejszym sprawozdaniu odnoszą się wyłącznie do badanego obiektu i do warunków i konfiguracji urządzeń w dniu wykonywania pomiarów.

16	GKP w odległości 6m od anteny radioliniowej az. 99, 100 i 106°	0,3-2,0	<0.003*	<0.003*	<0.003*	0.006	0.08	53°8'35.159" 23°4'31.439"
17	GKP w odległości 21m od anteny radioliniowej az. 99°	0,3-2,0	<0.003*	<0.003*	<0.003*	0.006	0.08	53°8'35.159" 23°4'32.52"
18	GKP w odległości 14m od anteny radioliniowej az. 100 i 106°	0,3-2,0	<0.003*	<0.003*	<0.003*	0.006	0.08	53°8'35.159" 23°4'32.16"
19	GKP w odległości 9m od anteny sektorowej az. 160°	0,3-2,0	<0.003*	<0.003*	<0.003*	0.006	0.08	53°8'35.159" 23°4'31.439"
20	GKP w odległości 20m od anteny sektorowej az. 160°	0,3-2,0	<0.003*	<0.003*	<0.003*	0.006	0.08	53°8'34.8" 23°4'31.8"
21	GKP w odległości 37m od anteny sektorowej az. 160°	0,3-2,0	<0.003*	<0.003*	<0.003*	0.006	0.08	53°8'34.08" 23°4'32.16"
22	GKP w odległości 91m od anteny sektorowej az. 160°	0,3-2,0	<0.003*	<0.003*	<0.003*	0.006	0.08	53°8'32.64" 23°4'32.88"
23	GKP w odległości 8m od anteny radioliniowej az. 181°	0,3-2,0	<0.003*	<0.003*	<0.003*	0.006	0.08	53°8'35.159" 23°4'31.439"
24	GKP w odległości 22m od anteny radioliniowej az. 181°	0,3-2,0	<0.003*	<0.003*	<0.003*	0.006	0.08	53°8'34.439" 23°4'31.439"
25	GKP w odległości 38m od anteny radioliniowej az. 181°	0,3-2,0	<0.003*	<0.003*	<0.003*	0.006	0.08	53°8'34.08" 23°4'31.439"
26	GKP w odległości 15m od anteny radioliniowej az. 259 i 261°	0,3-2,0	<0.003*	<0.003*	<0.003*	0.006	0.08	53°8'35.159" 23°4'30.359"
27	GKP w odległości 33m od anteny radioliniowej az. 259 i 261°	0,3-2,0	<0.003*	<0.003*	<0.003*	0.006	0.08	53°8'35.159" 23°4'29.639"
28	GKP w odległości 49m od anteny radioliniowej az. 259 i 261°	0,3-2,0	<0.003*	<0.003*	<0.003*	0.006	0.08	53°8'35.159" 23°4'28.56"
29	GKP w odległości 11m od anteny sektorowej az. 280°	0,3-2,0	<0.003*	<0.003*	<0.003*	0.006	0.08	53°8'35.52" 23°4'30.359"
30	GKP w odległości 34m od anteny sektorowej az. 280°	0,3-2,0	<0.003*	<0.003*	<0.003*	0.006	0.08	53°8'35.52" 23°4'29.279"
31	GKP w odległości 51m od anteny sektorowej az. 280°	0,3-2,0	<0.003*	<0.003*	<0.003*	0.006	0.08	53°8'35.52" 23°4'28.2"
32	GKP w odległości 72m od anteny sektorowej az. 280°	0,3-2,0	<0.003*	<0.003*	<0.003*	0.006	0.08	53°8'35.88" 23°4'27.12"
33	GKP w odległości 96m od anteny sektorowej az. 280°	0,3-2,0	<0.003*	<0.003*	<0.003*	0.006	0.08	53°8'35.88" 23°4'26.039"
34	GKP w odległości 13m od anteny radioliniowej az. 283°	0,3-2,0	<0.003*	<0.003*	<0.003*	0.006	0.08	53°8'35.52" 23°4'30.359"
35	GKP w odległości 31m od anteny radioliniowej az.	0,3-2,0	<0.003*	<0.003*	<0.003*	0.006	0.08	53°8'35.52" 23°4'29.639"

Sprawozdanie z badań bez pisemnej zgody laboratorium nie może być powielane inaczej niż w całości.
Wynik przedstawione w niniejszym sprawozdaniu odnoszą się wyłącznie do badanego obiektu i do warunków i konfiguracji urządzeń w dniu wykonywania pomiarów.

	283°							
36	GKP w odległości 81m od anteny radioliniowej az. 283°	0,3-2,0	<0.003*	<0.003*	<0.003*	0.006	0.08	53°8'35.88" 23°4'26.76"
37	GKP w odległości 15m od anteny radioliniowej az. 289 i 293°	0,3-2,0	<0.003*	<0.003*	<0.003*	0.006	0.08	53°8'35.52" 23°4'30.719"
38	GKP w odległości 30m od anteny radioliniowej az. 289°	0,3-2,0	<0.003*	<0.003*	<0.003*	0.006	0.08	53°8'35.52" 23°4'29.639"
39	GKP w odległości 41m od anteny radioliniowej az. 289°	0,3-2,0	<0.003*	<0.003*	<0.003*	0.006	0.08	53°8'35.88" 23°4'28.919"
40	GKP w odległości 33m od anteny radioliniowej az. 293°	0,3-2,0	<0.003*	<0.003*	<0.003*	0.006	0.08	53°8'35.88" 23°4'29.639"
41	GKP w odległości 45m od anteny radioliniowej az. 293°	0,3-2,0	<0.003*	<0.003*	<0.003*	0.006	0.08	53°8'35.88" 23°4'28.919"
42	GKP w odległości 16m od anteny radioliniowej az. 298°	0,3-2,0	<0.003*	<0.003*	<0.003*	0.006	0.08	53°8'35.52" 23°4'30.719"
43	GKP w odległości 38m od anteny radioliniowej az. 298°	0,3-2,0	<0.003*	<0.003*	<0.003*	0.006	0.08	53°8'35.88" 23°4'29.639"
44	GKP w odległości 51m od anteny radioliniowej az. 298°	0,3-2,0	<0.003*	<0.003*	<0.003*	0.006	0.08	53°8'36.239" 23°4'28.919"
45	GKP w odległości 16m od anteny radioliniowej az. 308°	0,3-2,0	<0.003*	<0.003*	<0.003*	0.006	0.08	53°8'35.52" 23°4'30.719"
46	GKP w odległości 30m od anteny radioliniowej az. 308°	0,3-2,0	<0.003*	<0.003*	<0.003*	0.006	0.08	53°8'35.88" 23°4'29.999"
47	GKP w odległości 61m od anteny radioliniowej az. 308°	0,3-2,0	<0.003*	<0.003*	<0.003*	0.006	0.08	53°8'36.6" 23°4'28.56"
48	PPP - w wejściu do sklepu motoryzacyjnego	0,3-2,0	<0.003*	<0.003*	<0.003*	0.006	0.08	53°8'36.959" 23°4'31.439"
49	PPP - narożnik budynku	0,3-2,0	<0.003*	<0.003*	<0.003*	0.006	0.08	53°8'35.88" 23°4'30.359"
50	PPP - w wejściu do budynku biurowego	0,3-2,0	<0.003*	<0.003*	<0.003*	0.006	0.08	53°8'34.8" 23°4'31.8"
-	GKP w odległości 182m od anteny sektorowej na az. 20°	0,3-2,0	<0.003*	<0.003*	<0.003*	0.006	0.08	53°8'40.92" 23°4'34.679"
-	GKP w odległości 365m od anteny sektorowej na az. 20°	0,3-2,0	<0.003*	<0.003*	<0.003*	0.006	0.08	53°8'46.679" 23°4'37.92"
-	GKP w odległości 363m od anteny sektorowej na az. 160°	0,3-2,0	<0.003*	<0.003*	<0.003*	0.006	0.08	53°8'24.359" 23°4'37.92"
-	GKP w odległości 232m od anteny sektorowej na az. 280°	0,3-2,0	<0.003*	<0.003*	<0.003*	0.006	0.08	53°8'36.6" 23°4'18.839"
-	GKP w odległości 463m od anteny sektorowej na az. 280°	0,3-2,0	<0.003*	<0.003*	<0.003*	0.006	0.08	53°8'38.04" 23°4'6.6"

Sprawozdanie z badań bez pisemnej zgody laboratorium nie może być powielane inaczej niż w całości.
Wynik przedstawione w niniejszym sprawozdaniu odnoszą się wyłącznie do badanego obiektu i do warunków i konfiguracji urządzeń w dniu wykonywania pomiarów.

GKP – Główny Kierunek Pomiarowy

PPP – Pomocniczy Pion pomiarowy

¹ wyniki oznaczone * są wynikami poniżej czułości zestawu pomiarowego

² współrzędne geograficzne pozyskane metodą obliczeniową w oparciu o pomiar punktu referencyjnego

³ do wyznaczenia wartości wskaźnikowej W_{ME} i W_{MH} przyjęto na podstawie uzgodnień z klientem oraz rozpoznania źródeł, jako wartości dopuszczalne pola elektrycznego i magnetycznego odpowiednio 28 V/m i 0,073 A/m.

⁴ do wyznaczenia niepewności dla wyników poniżej czułości zestawu pomiarowego, przyjęto niepewność dla minimalnej wartości z zakresu pomiarowego.

⁵ maksymalna wartość chwilowa

Niepewność oszacowano zgodnie z dokumentem P-03 „Procedura nadzoru nad wyposażeniem” w postaci niepewności rozszerzonej wynikającej z niepewności standardowej pomnożonej przez współczynnik rozszerzenia $k=2$.

Całkowita szacowana niepewność rozszerzona składowej E wynosi odpowiednio:

sonda S-23: 30.1% dla częstotliwości do 3 GHz, sonda S-24: 26.2% dla częstotliwości do 3 GHz

Dla przedmiotowych pomiarów zleceniodawca określił poprawkę pomiarową = 1.65.

Umiejscowienie pionów (punktów) pomiarowych przedstawiono w nr 2 do niniejszego sprawozdania.

10. Omówienie wyników pomiarów

Wyniki pomiarów uzyskane zostały przy uwzględnieniu poprawek pomiarowych przekazanych przez zleceniodawcę, umożliwiających uwzględnienie maksymalnych parametrów pracy instalacji zleceniodawcy oraz innych operatorów występujących w obszarze pomiarowym.

W wyniku zastosowania sposobu sprawdzenia dotrzymania dopuszczalnych poziomów pól elektromagnetycznych w środowisku, zgodnie pkt 25 ppkt 1 Rozporządzenia Ministra Klimatu z dnia 17 lutego 2020 r. (Dz. U. 2020, poz. 258), w związku z tym, że żadna z wartości wskaźnikowych, udokumentowanych w tabelach w pkt. 9 nie przekracza wartości 1, stwierdza się, że w miejscach, w których wykonano pomiary w otoczeniu instalacji radiokomunikacyjnej 24035 (96023N!) WBI_BIALYSTOK_ELEWATORSKA52, dopuszczalne poziomy pól elektromagnetycznych w środowisku należy uznać za dotrzymane.

11. Podstawa prawna

- 1) Ustawa z dnia 27 kwietnia 2001 r. Prawo ochrony środowiska (t. j. Dz. U. z 2020 r., poz. 1219 z późn.zm.)
- 2) Rozporządzenie Ministra Zdrowia z dnia 17 grudnia 2019 r. w sprawie dopuszczalnych poziomów pól elektromagnetycznych w środowisku (Dz. U. 2019, poz. 2448)
- 3) Rozporządzenie Ministra Klimatu z dnia 17 lutego 2020 r. w sprawie sposobów sprawdzania dotrzymania dopuszczalnych poziomów pól elektromagnetycznych w środowisku (Dz. U. 2020, poz. 258),
- 4) Akredytacja nr AB 419 wydana przez Polskie Centrum Akredytacji (wydanie 17, z dnia 13 stycznia 2021r.).

12. Spis załączników

Załącznik 1. Lokalizacja obiektu badań

Załącznik 2. Usytuowanie pionów (punktów) pomiarowych

Załącznik 3. Dokumentacja fotograficzna obiektu badań

13. Data wydania i autoryzowania sprawozdania

Obliczenia i sprawozdanie wykonał :



Signed by /
Podpisano przez:



Date / Data:
2021-10-10
17:30

Sprawozdanie autoryzował:



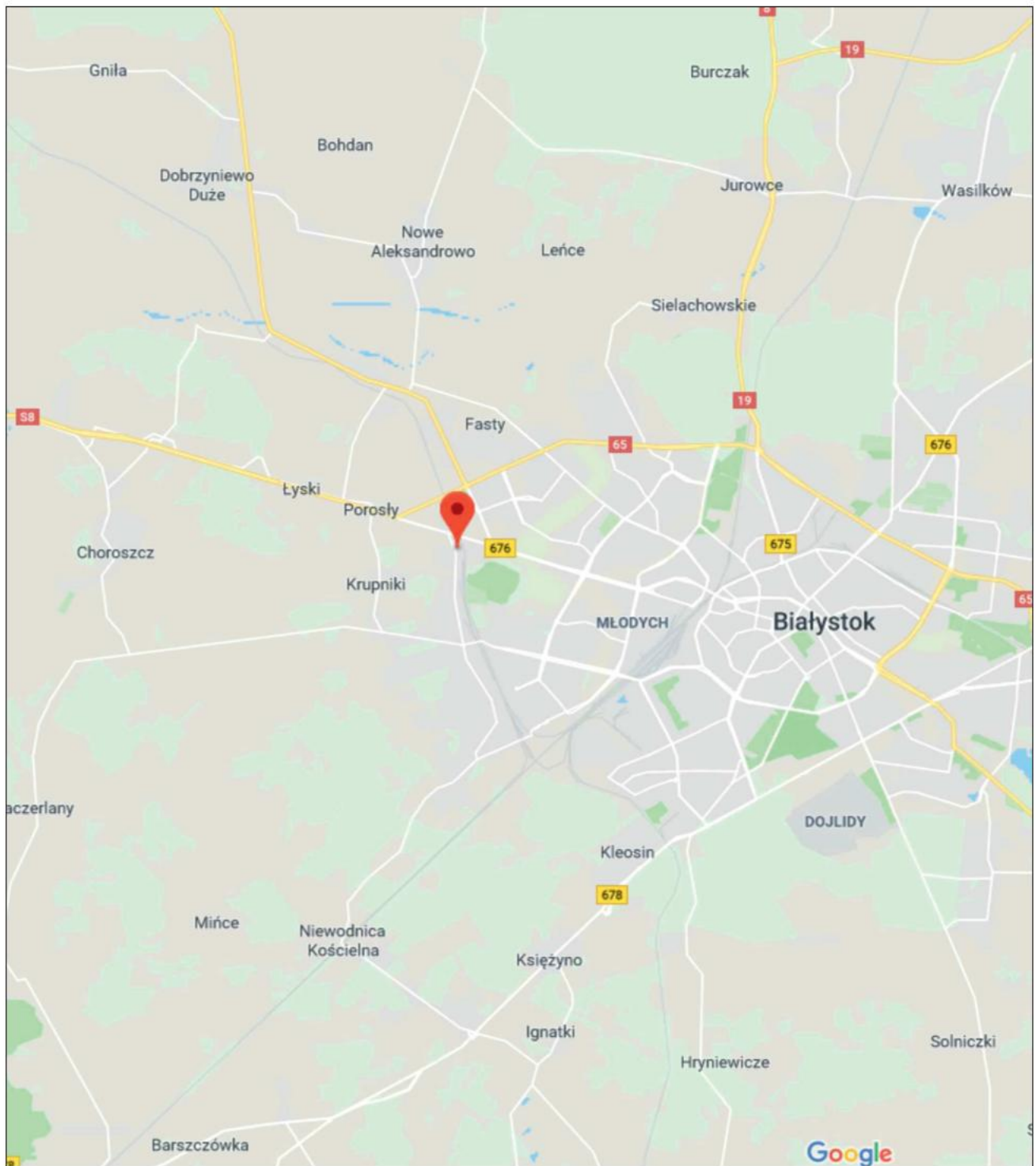
Signed by /
Podpisano przez:



Date / Data:
2021-10-12
13:44

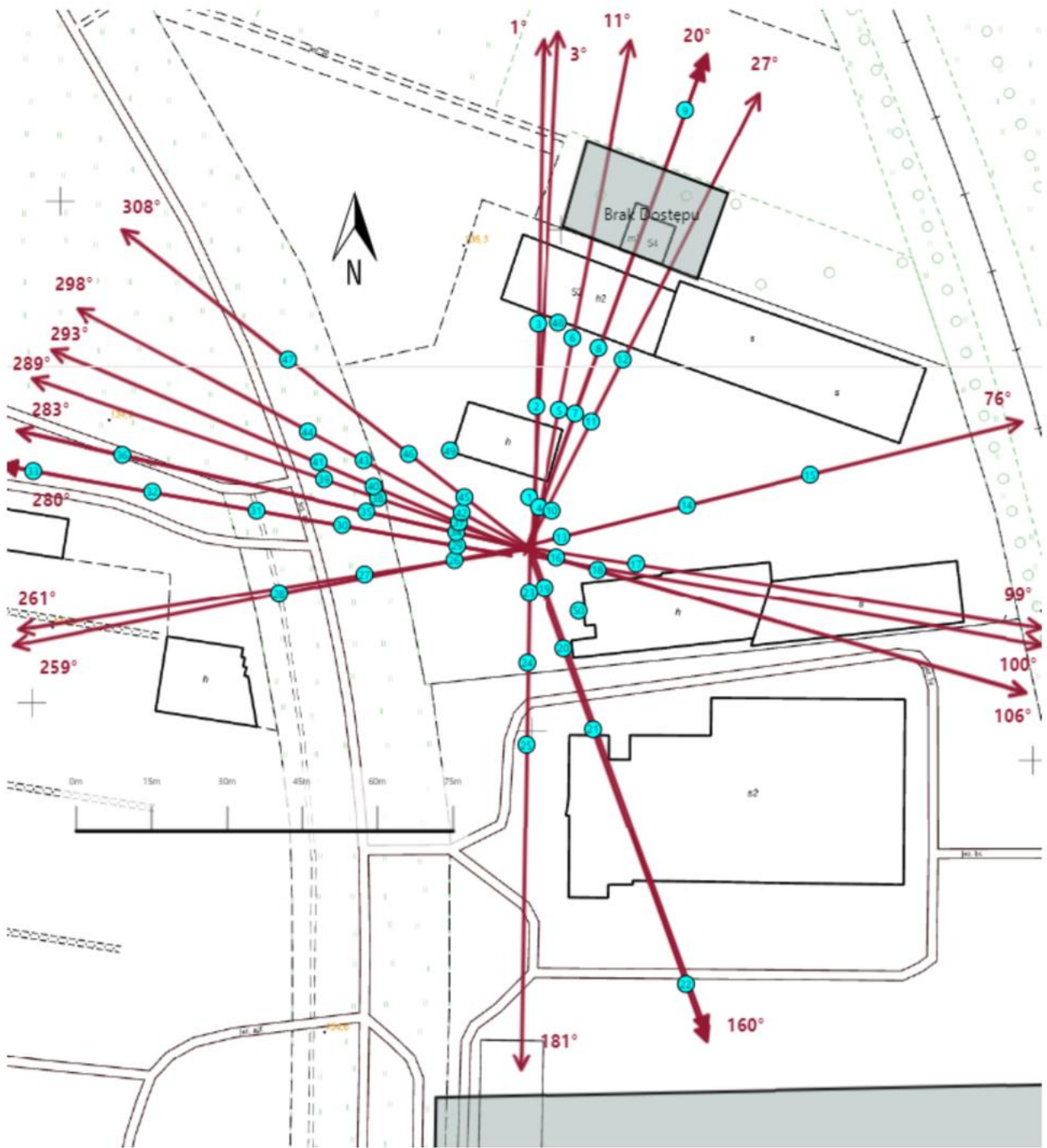
Koniec sprawozdania




Sprawozdanie z badań bez pisemnej zgody laboratorium nie może być powielane inaczej niż w całości.
Wynik przedstawione w niniejszym sprawozdaniu odnoszą się wyłącznie do badanego obiektu i do warunków i konfiguracji urządzeń w dniu wykonywania pomiarów.



Załącznik nr 1

INSTALACJA RADIOKOMUNIKACYJNA T-Mobile Polska S.A.
24035 (96023N!) WBI_BIALYSTOK_ELEWATORSKA52
Lokalizacja instalacji radiokomunikacyjnej



Załącznik nr 2	<p style="text-align: center;">Instalacja radiokomunikacyjna T-Mobile Polska S.A. WBI_BIALYSTOK_ELEWATORSKA52 (96023N!) Usytuowanie pionów pomiarowych w otoczeniu instalacji radiokomunikacyjnej</p>
Legenda:	<div style="display: flex; justify-content: space-around; align-items: center;"> <div style="text-align: center;">  Pion pomiarowy </div> <div style="text-align: center;">  Kierunek oddziaływania anten sektorowych </div> <div style="text-align: center;">  Kierunek oddziaływania anten radioliniowych </div> </div>



Załącznik nr 3

INSTALACJA RADIOKOMUNIKACYJNA T-Mobile Polska S.A.
24035 (96023N!) WBI_BIALYSTOK_ELEWATORSKA52
Zdjęcia instalacji radiokomunikacyjnej